

Rappels

B^* forme bilinéaire sur h^* non dégénéré B^* est défini-positif sur $\mathbb{R} \langle \alpha \rangle_{\alpha \in R} \implies \mathbb{R} \langle \alpha \rangle$ est un espace euclidien sous ensemble de R ensemble de racines

$$R = R^+ \cup R^-$$

pour $h \in \mathbb{E}$ t.q. $(h, \alpha) \neq 0$

$$R^+ = \{\alpha | (h, \alpha) > 0\} = -R^-$$

Racines simples : $S \in R$ racines qui ne se décomposent pas en une somme de racines positives

$$\left\{ \frac{\alpha}{\|\alpha\|} \right\}_{\alpha \in S}$$

est configuration admissible ; ensemble de vecteurs tel quel $\angle(u, v) \in \{\frac{\pi}{2}, \frac{2\pi}{3}, \frac{3\pi}{4}, \frac{5\pi}{6}\}$

Diagramme de Coxeter

Nombre de lien entre les points est $(0,1,2,3)$ et correspond à l'indice de la liste d'angles

Est

1. Acyclique
2. degré de chaque sommet ≤ 3

On va essayer de restreindre les Diagrammes de Coxeter encore plus

Lemme :

Si v_1, \dots, v_n est une configuration admissible et $V_i - V_j$ dans le Diagramme de Coxeter alors

$$V_1, \dots, \hat{V}_i, \dots, \hat{v}_j, \dots, v_j, v_i + v_j$$

est une configuration admissible dont le Diagramme est identique sauf que les sommets v_i et v_j

Démonstration : Si v_k n'est pas relié à v_i, v_j $(v_k, v_i + v_j) = 0$

$$\text{si } (v_k - v_i - v_j), (v_k, v_i + v_j) = (v_k, v_i) + (v_k, v_j) = (v_k, v_i)$$

$$\text{idem pour } (v_k = v_i - v_j)$$

$$\text{de plus } (v_i + v_j, v_i + v_j) = \dots = 1$$

On déduit que le Diagramme de Coxeter d'une configuration admissible irréductible fait partie de la liste

$$A_n : 1 - 2 - \dots - n - 1 - n$$

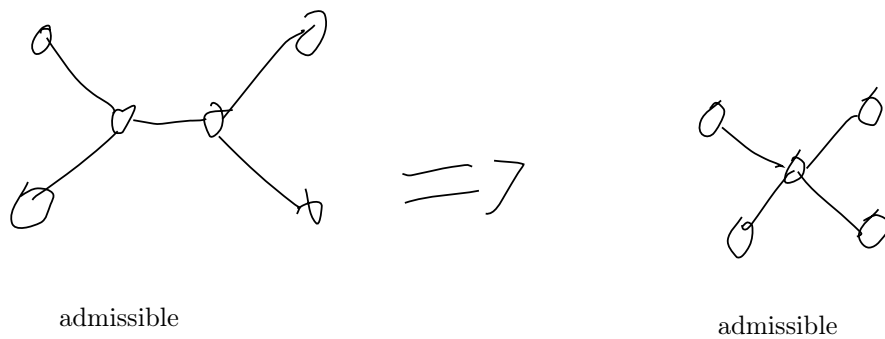
$$BCF_n : 1 - 2 - \dots - i = i + 1 - \dots - n - 1 - n$$

$$DE_n : \cdot - \cdot - \dots - \cdot \perp \cdot - \dots - \cdot - \cdot$$

$$G_2 : \cdot \equiv \cdot$$

Lemme : Le Diagramme d'une configuration admissible ne peut pas contenir comme sous graphe

$$1. \quad \circ - \circ = \circ - \circ - \circ$$



4

FIGURE 1 – exemple lemme

2. $\circ - \circ \perp^2 \circ - \circ$
3. $\underbrace{\circ - \circ}_2 \perp^1 \underbrace{\circ - \circ}_5$
4. $\underbrace{\circ - \circ}_3 \perp^1 \underbrace{\circ - \circ}_3$

Démonstration :

2) On 7 vecteurs

la matrice (v_i, v_j) est (voir figure) dégénéré

Finalement, on a les cas

$$A_n : 1 - 2 - \cdots - n - 1 - n$$

$$BC_n : 1 = 2 - \cdots - n - 1 - n$$

$$F_4 = . - . = . - .$$

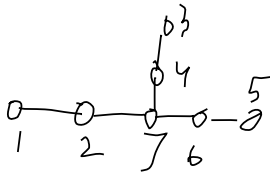
$$D_n : 1 \perp^1 - . - \cdots - . - .$$

$$E_6 : . - . - \perp^2 - . - .$$

$$E_7 : . - . - \perp^2 - . - . - .$$

$$E_8 : . - . - \perp^2 - . - . - . - .$$

$$G_2 : . \equiv .$$



$$\begin{pmatrix} 1 & -\frac{1}{2} & 0 & 0 & 0 \\ -\frac{1}{2} & 1 & 0 & 0 & 0 \\ 0 & 0 & 1 & -\frac{1}{2} & 0 \\ 0 & 0 & -\frac{1}{2} & 1 & 0 \\ 0 & 0 & 0 & 0 & 1 \end{pmatrix}$$

FIGURE 2 – matrice

Rappel

Dans un système de racine, si $\angle \alpha, \beta = \frac{2\pi}{3}$ alors $\|\alpha\| = \|\beta\|$ si $\angle \alpha, \beta = \frac{3\pi}{4}$ alors $\|\alpha\| = \sqrt{2}\|\beta\|$

...

Conséquence de ce rappel :

Dans les cas A_n, D_n, E_n toutes les racines sont de la même longueur

On garde une flèche sur $=$ et \equiv qui pointe vers la racine la plus courte. On obtiens les Diagrammes de Dynkin

$$B_n : 1 = < = 2 - \dots - n - 1 - n$$

$$C_n : 1 = > = 2 - \dots - n - 1 - n$$

$$F_4 : . - . = > = . - .$$

$$G_2 : . \equiv > \equiv .$$

Exemples Les Diagrammes A_n est le Diagramme de $\mathfrak{sl}(n+1, \mathbb{C})$

$$h = \left\{ \begin{pmatrix} \alpha_1 & & \\ & \ddots & \\ & & \alpha_{n+1} \end{pmatrix} \mid \sum_{\alpha_i} = 0 \right\}$$

$$\begin{aligned}
h^* &= \langle L_1, \dots, L_{n+1} \rangle \\
R &= \{L_i - L_j \mid i \neq j\} \\
S &= \{L_1 - L_2, L_2 - L_3, \dots, L_n - L_{n+1}\}
\end{aligned}$$

Le diagramme de B_n est le diagramme de $\mathfrak{so}(2n+1, \mathbb{C})$. Les C_n c'est pour $\mathfrak{sp}(2n\mathbb{C})$

$$B_2 = C_2 \implies \mathfrak{so}(?) = \mathfrak{sp}(4, \mathbb{C})$$

Construction de \mathfrak{g}_2